

# مقایسه انتشار واقعی آلاینده های ناشی از خودرو های سواری داخلی با مدل IVE

مریم صابریان ثانی، یوسف رشیدی\* و سید حسین هاشمی

گروه فناوری های محیط زیست، پژوهشکده علوم محیطی، دانشگاه شهید بهشتی، تهران، ایران

**سابقه و هدف:** برآورد تولید آلودگی هوا از منابع متحرک و ثابت از ارکان اصلی مدیریت کیفیت هوا است و با توجه به عملکرد خودروها در شرایط مختلف، محاسبه مقدار انتشار آلاینده ها از منابع متحرک یکی از چالش های تدوین فهرست انتشار است. در مطالعات تدوین فهرست انتشار آلودگی هوا کشور، از نرم افزار بین المللی مدل سازی انتشار وسایل نقلیه (IVE) استفاده می شود.

**مواد و روش ها:** در پژوهش حاضر جهت بررسی انحراف مقادیر مدل از واقعیت، مقایسه ای بین مدل IVE و اندازگیری انتشار خودروهای سواری داخلی صفر کیلومتر در آزمایش شاسی دینامومتر آزمایشگاه ISQI بر اساس استاندارد آلاینده یورو ۴ و چرخه رانندگی جدید اروپا (NEDC) انجام شده است.

**نتایج و بحث:** مقایسه داده های انتشار آزمایش شاسی دینامومتر خودروهای داخلی برای سه گاز مهم CO, NOx, HC با نتایج انتشار مدل سازی شده توسط مدل IVE مقادیر مختلفی را نشان داد بجز یک مورد در انتشار NOx که مدل با خودروی کوئیک برابر بود، بدین صورت که انتشار NOx در بازه ۰.۱ تا ۰.۵ در فرآوری داشت و مدل عدد ۰.۰۳ را نشان داد و در مورد CO در بازه ۰.۲۶ تا ۰.۹۶ قرار داشت که مدل عدد ۰.۴۸ را نشان داد و همچنین HC در بازه ۰.۰۳ تا ۰.۰۸ قرار دارد که نتایج مدل برابر ۰.۰۳ است

**نتیجه گیری:** بر اساس مقایسه نتایج، اگرچه مدل IVE تا حدودی به واقعیت نزدیک است ولی اتفاقاً به شرایط فرضی برای برآورد مقدار آلاینده های خودروهای سواری، غیر قابل اعتماد است و نمی توان نتایج مدل را برآورد صحیحی از انتشارات در نظر گرفت بلکه با اعمال ضرایب تصحیح مناسب برای هر خودرو قابل کاربرد است.

**کلمات کلیدی:** آلودگی هوا، مدل IVE، وسایل نقلیه موتوری، سیکل NEDC، شاسی دینامومتر

## مقدمه

آلودگی هوا یکی از مهمترین مشکلات محیط زیستی در سطح جهان است (Li, et al. 2022). طبق بررسی داده های انتشار توسط آژانس محیط زیست اروپا، حمل و نقل جاده ای تاثیر مهمی بر میزان این آلودگی از جمله در تولید گازهای NOx، اجزای فرار آلی بدون متan (NMVOCs)، انتشار CO، انتشار PM<sub>10</sub> و PM<sub>2.5</sub> دارد و بخش حمل و نقل ۲۳ درصد از انتشار CO<sub>2</sub> جهانی را در سال ۲۰۱۰ به خود اختصاص داده است (Kii, 2020). وسایل نقلیه موتوری سهم مهمی در طیف گسترده ای از انتشار آلاینده ها در مقیاس جهانی دارند و خودروهای سواری منبع مهم انتشار به ویژه در مناطق شهری هستند (Suarez-Bertoa, et al. 2019). حمل و نقل جاده ای به تنها بی مسئول ۴۰/۳ درصد از کل NO<sub>x</sub> و ۱۶/۵ درصد از کل PM<sub>2.5</sub> در ۲۷ کشور اتحادیه اروپا (EU27) بوده است. انتشارات حمل و نقل جاده ای باید تا حد ممکن دقیق محاسبه شود (Wondifraw, et al. 2018). عوامل انتشار و مقدار انتشار منبع

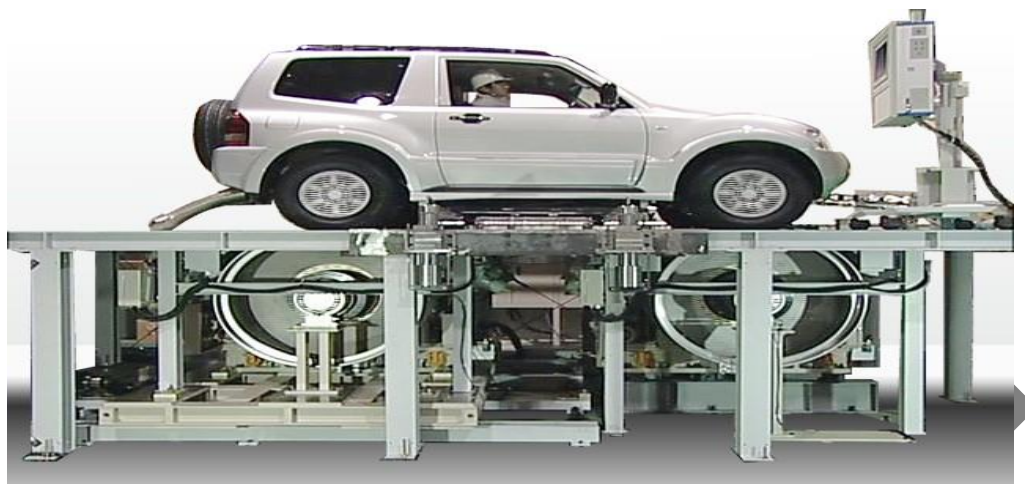
\* Corresponding Author: Email Address. y\_rashidi@yahoo.com

مهمی از داده‌ها برای جمع آوری و مدلسازی انتشارات خودرویی در موقعیت‌های مختلف هستند (Mądziel, et al. 2021). برآورد صحیح انتشارات از اهمیت زیادی برای بسیاری از مسائل برخوردار است، اما در عمل دشوار است (Bernard Tietge et al. 2018) زیرا در هر کشوری، میلیون‌ها وسیله نقلیه منفرد وجود دارد که طیف وسیعی از انواع سوت، استانداردهای آلیندگی، کلاس خودروها و فناوری‌ها را شامل می‌شود. حتی وسایل نقلیه یکسان ممکن است بر اساس رفتار رانندگی و مسافت پیموده شده، متفاوت رفتار کنند (Singh, et al. 2021). علاوه بر این، شرایط محیطی، می‌تواند بر انتشار خودروهای جاده‌ای نیز تأثیر بگذارد (Bishop, Stedman et al. 2016). دستیابی به آمار دقیق و جامع از انتشار منابع متحرک آلوده کننده، در جهت کاهش آلیندگی‌ها و اتخاذ استراتژی‌های کاهنده‌ی آلودگی هوا از اهمیت بسیاری برای مدیران برخوردار است. محققان جهت تعیین میزان انتشار خودروها مدل‌های مختلف انتشار را ایجاد کرده‌اند که از جمله آنها می‌توان به مدل انتشار منابع متحرک (MOBILE) (Leung, 2019)، مدل انتشار جامع مдал (CMEM) (Hirahara, et al. 2020)، مدل انتشار بین المللی خودرو (IVE) (Cuba, 2021)، مدل محاسبه انتشار ناشی از حمل و نقل جاده‌ای (COPERT) (Ali, et al. 2021) و شبیه ساز انتشار خودرو (Cuba et al. 2021) اشاره کرد. این مدل‌ها منعکس کننده شرایط عملیاتی خودروها در زمان واقعی هستند و پایگاه‌های داده برای این مدل‌ها بر اساس آزمایش‌های شاسی دینامومتر ایجاد شده است (Dong and Xu 2020). در مطالعات تدوین فهرست انتشار آلودگی هوا ایران از نرم‌افزار بین المللی مدل‌سازی انتشار وسایل نقلیه (IVE) استفاده می‌شود. مزیت مدل IVE حساسیت آن به فناوری‌های موجود خودرو در کشورهای در حال توسعه است (Shahbazi, et al. 2016). این مدل برای مطالعات نرخ انتشار برای انواع مختلف خودرو و تکنولوژی در کشورهای مختلف از جمله چین (Zhong, et al. 2019)، نپال (Zhou, et al. 2019) و شهرهای مختلف ایران از قبیل تبریز (Jamshidi Kalajahi, et al. 2020)، اصفهان (Ghaffarpasand, et al. 2020)، تهران (pourmohajer, et al. 2019) مورد استفاده قرار گرفته است. در مجموع، هدف مطالعه حاضر بررسی انحراف مقادیر محاسبه شده توسط مدل IVE و اندازگیری واقعی انتشار با استفاده از آزمایش شاسی دینامومتر خودروهای صفر کیلومتر بر اساس استاندارد آلیندگی یورو ۴ و چرخه رانندگی جدید اروپا (NEDC) است.

## مواد و روش

### آزمایش شاسی دینامومتر

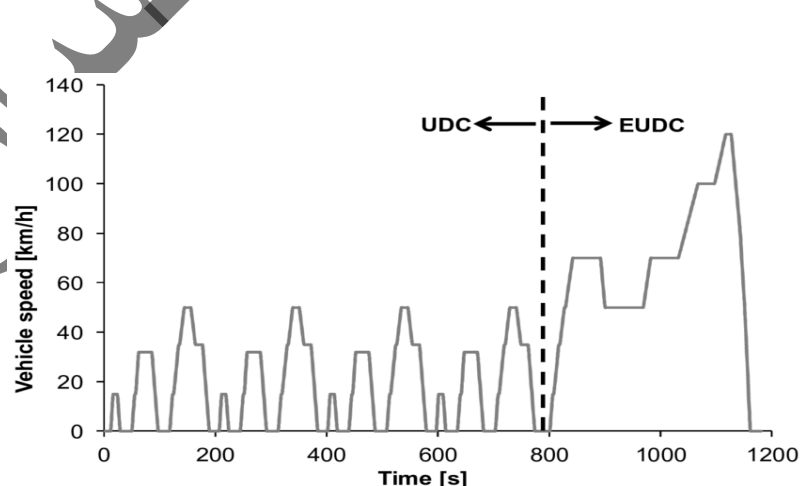
دستگاه شاسی دینامومتر یک وسیله برای شبیه سازی حرکت خودرو در شرایط مختلف است. در این روش خودرو ثابت است و غلتک‌هایی حرکت خودرو را بروی چرخ‌ها شبیه سازی می‌کند. استفاده از شاسی دینامومتر این امکان را فراهم می‌کند تا بصورت همزمان انتشار آلیندگی‌ها به همراه مصرف سوت و توان خودرو اندازگیری شود. خودرو با رعایت شرایط خاصی روی شاسی دینامومتر قرار گرفته و آزمایشگر، سیکل رانندگی مورد نظر را بر روی دینامومتر می‌پیماید. (شکل ۱)



شکل ۱. آزمایش شاسی دینامومتر

figure 1. Dynamometer chassis test

از زمانی که مسئله آلودگی کلان شهرها و گازهای گلخانه‌ای تبدیل به یک بحران جهانی شده است، دولت‌ها به فکر افتادند تا این بحران را با کاهش گازهای آلاینده تولید شده از خودروها که سهم بیشتری در تولید آلودگی شهرها دارند، کنترل کنند. بدین ترتیب استاندارهای مختلف آلاینده‌گی خودروها از قبیل استاندارد ژاپنی، امریکایی و اروپایی تدوین شده است. کشور ما از استاندارد آلاینده‌گی جدید اروپا (NEDC) استفاده می‌کند که با استفاده از آین نامه شماره ۸۳ (استاندارد ملی ایران به شماره ۷۳۲۸، ۲۰۰۴) ثبت شده است. در هر استاندارد آلاینده‌گی یک سیکل مشخص رانندگی وجود دارد که به آن سیکل رانندگی یا Driving Cycle گفته می‌شود. در طی انجام سیکل رانندگی گازهای خروجی از اگزوز جمع‌آوری شده و در انتهای سیکل مقدار آن‌ها اندازه‌گیری و محاسبه می‌شود. در صورتی که میزان گازهای آلاینده در طول سیکل از محدوده‌ای که استاندارد مشخص کرده است کمتر باشد، اصطلاحاً گفته می‌شود خودرو استاندارد آلاینده‌گی را پاس کرده است. در این تحقیق خودروهای سواری داخلی شامل: پژو ۲۰۶، سمند، تیبا، تیبا ۴۰۵، سایپا (انواع پراید)، کوییک، شاهین بر روی یک شاسی دینامومتر طبق شرایط مندرج در جدول ۱ و طبق سیکل NEDC شامل چهار سیکل ECE، بدون وقفه و سپس یک سیکل EUDC اجرا می‌شود. (شکل ۲)



شکل ۲. نمایی از سیکل NEDC

**Figure 2. A view of the NEDC cycle**

(Kiyakli ,2018 )

### جدول ۱. شرایط آزمایش شاسی دینامومتر

**Table 1. Dynamometer chassis test conditions**

Description	توضیح	عنوان	Title
شرکت ISQI در منطقه ای پل کردان تهران (مرکز آزمایش شاسی دینامومتر خودرو ها صنایع خودروسازی مختلف)	مرکز آزمایش شاسی دینامومتر		
Bridge area of Kordan theISQI company in Tehran (dynamometer chassis testing center for various automotive industries)	Dynamometer chassis test center		
سال های 2015-2020	نتایج آزمایش / سال		
2005-2020	Test results/year		
1427 متر	ارتفاع محل آزمایش		
1427 meters	The height of the test site		
ساعت ۸	مدت زمان توقف خودرو در اتاق SOAK		
8 hours	Duration of car stop in SOAK room		
درجه سلسیوس ۲۰-۳۰	دماهی اتاق SOAK		
20-30 degrees Celsius	SOAK room temperature		
درجه سلسیوس ۲۵	دماهی حین آزمایش		
25 degrees Celsius	The temperature during the test		
درصد ۵۰	رطوبت محیط		
50 percent	Ambient humidity		
کیلومتر بر ساعت ۳۳.۷۳	سرعت متوسط		
33.73 km/h	average speed		
NOX, CO, HC	انتشارات مورد بررسی		
	Publications under review		
کیلومتر ۱۱	مسافت سیکل		
11 km	cycle distance		
one	تعداد استارت		
	The number of starters		

### مدل IVE

این مدل یک برنامه کامپیوتری است که به منظور تخمین انتشار منبع متحرک طراحی شده است و توسط زبان برنامه نویسی جawa توسعه یافته است (Cuba, et al. 2021). مدل IVE میزان انتشار آلاینده های محلی هوا، انتشار گازهای گلخانه ای و آلاینده های سمی را پیش بینی می کند و به عنوان تلاش مشترک دانشگاه کالیفرنیا در ریورساید، کالج مهندسی - مرکز تحقیقات و فناوری محیطی (CE-CERT) توسعه یافته است. طبق تحقیقات سیستم های پایدار جهانی (GSSR) و مرکز تحقیقات بین المللی سیستم های پایدار (ISSRC) مهمترین ورودی در IVE رفتار رانندگی است (Ghaffarpasand, et al. 2021)). این نرم افزار از توان

مخصوص خودرو (VSP) و استرس موتور برای به دست آوردن ضرایب اصلاحی ذکر شده استفاده می‌کند (Yu, Li *et al.* 2021). VSP تابعی از سرعت لحظه‌ای، تغییر ارتفاع، وزن وسیله نقلیه، ضریب پسا و چگالی هوا است (Sanches, *et al.* 2021). فرآیند تخمین انتشار در مدل حاصلضرب نرخ انتشار پایه برای هر فناوری در هر یک از ضرایب تصحیحات است. عوامل تصحیح را می‌توان به چند دسته طبقه بندی کرد که در جدول ۲ شرح داده شده است (Alipourmohajer, *et al.* 2019).

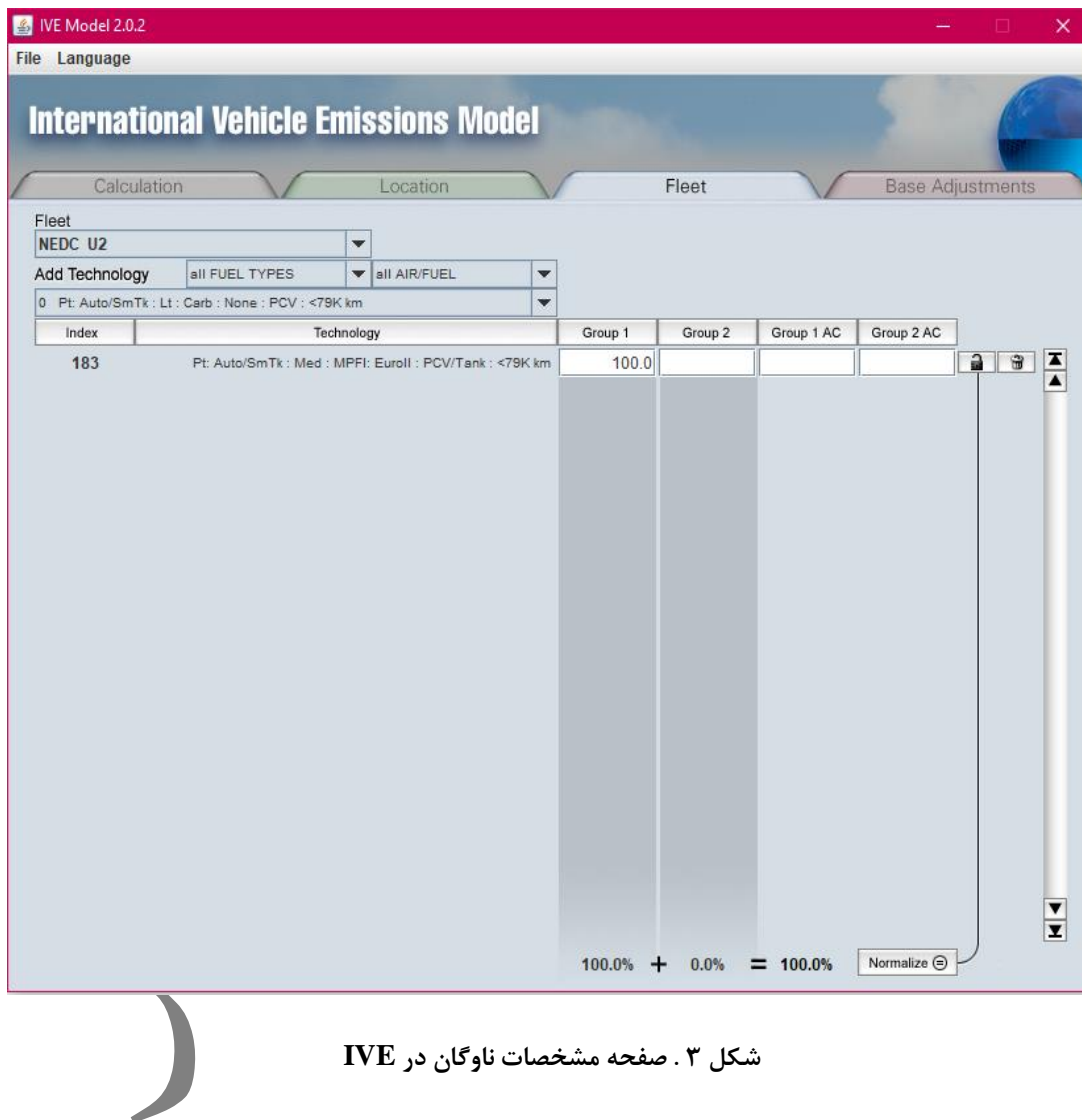
## جدول ۲. پارامترهای محاسبه انتشار در مدل IVE

Table 2. Parameters to Calculate Emissions in IVE Model

متغیرهای محلی Local Variables	متغیرهای کیفیت سوخت Fuel Quality Variables	متغیرهای قدرت و رانندگی Power & Driving Variables
دما محیط	کلیت بنزین	ویژگی خودرو
Ambient Temperature	Gasoline Overall	Vehicle Specific
رطوبت محیط	سلفور بنزین	قدرت جاده
Ambient Humidity	Gasoline Sulfur	Power Road
بررسی ارتفاع	سرب بنزین	درجه تهویه مطبوع
Altitude Inspection	Gasoline Lead	Grade Air Conditioning
برنامه های تعمیر و نگهداری	بنزن بنزین	شروع استفاده
Maintenance Programs	Gasoline Benzene	Usage Start
تنظیم انتشار پایه	اکسیژن بنزین	توزیع
Base Emission Adjustment	Gasoline Oxygenate	Distribution
	کلیت دیزل	
	Diesel Overall	
	سلفور دیزل	
	Diesel Sulfur	

این مدل به سه فایل ورودی شامل داده‌های ناوگان، داده‌های مکان و بخش تنظیمات پایه نیاز دارد. آماده سازی فایل ناوگان شامل نوع سوخت (بنزین، گازوئیل، پروپان، اتانول، CNG, LPG و سوخت‌های خاص)، سیستم سوخت رسانی (کاربراتور، تزریق تک نقطه‌ای، چند نقطه‌ای، پیش‌تزریق، تزریق مستقیم، ۲ زمانه و ۴ زمانه)، نوع و ویژگی‌های وسیله نقلیه، درصد توزیع وسیله نقلیه مورد نظر، توزیع استفاده از سیستم تهویه مطبوع است و بر این اساس مجموعاً ۱۴۷۱ فناوری در مدل آورده شده

است که ۱۳۷۲ مورد از آن از پیش تعریف شده و باقیمانده می‌تواند توسط کاربر تعریف شود. در هر فناوری ۶ مورد از ویژگی‌ها شامل اندازه خودروها (۷ حالت)، نوع سوخت (۵ حالت)، کاربری خودرو (۳ حالت)، سیستم سوخت رسانی (۳ حالت)، سیستم کنترل بخارات (متغیر) و سیستم کنترل خروجی اگزووز (متغیر) می‌باشد در شکل ۳ صفحه مربوط به ناوگان در نرم افزار IVE آورده شده است.

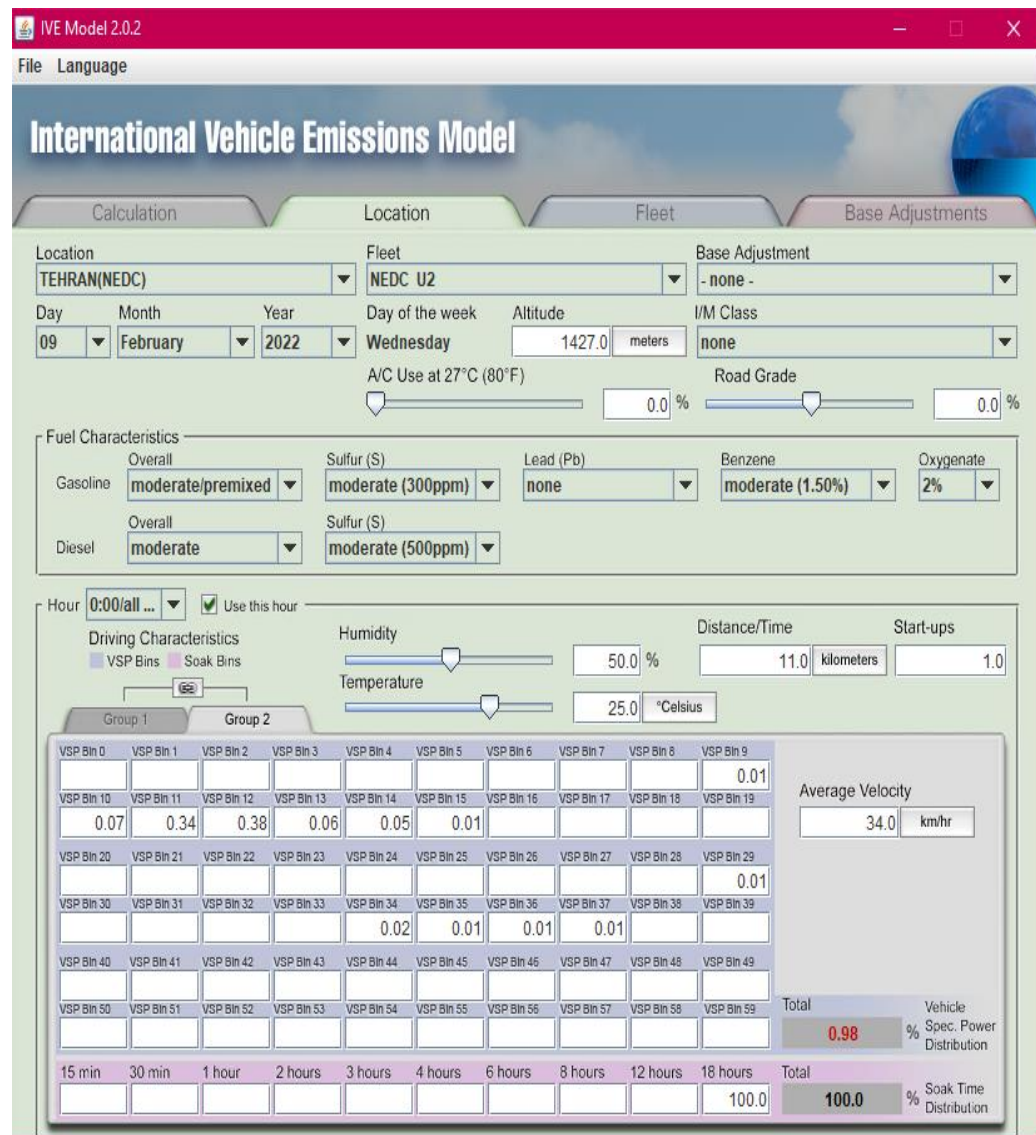


شکل ۳. صفحه مشخصات ناوگان در IVE

figure 3. Fleet profile page in IVE

بخش داده‌های مکان (location) در IVE اطلاعاتی نظیر شرایط محیطی مانند دما و رطوبت و ارتفاع، خصوصیات سوخت مانند درصد ترکیبات گوگرد دار، مقدار بنزن موجود و مقدار ترکیبات اکسیژن دار و...، ترکیب ناوگان وسایل نقلیه مورد استفاده در

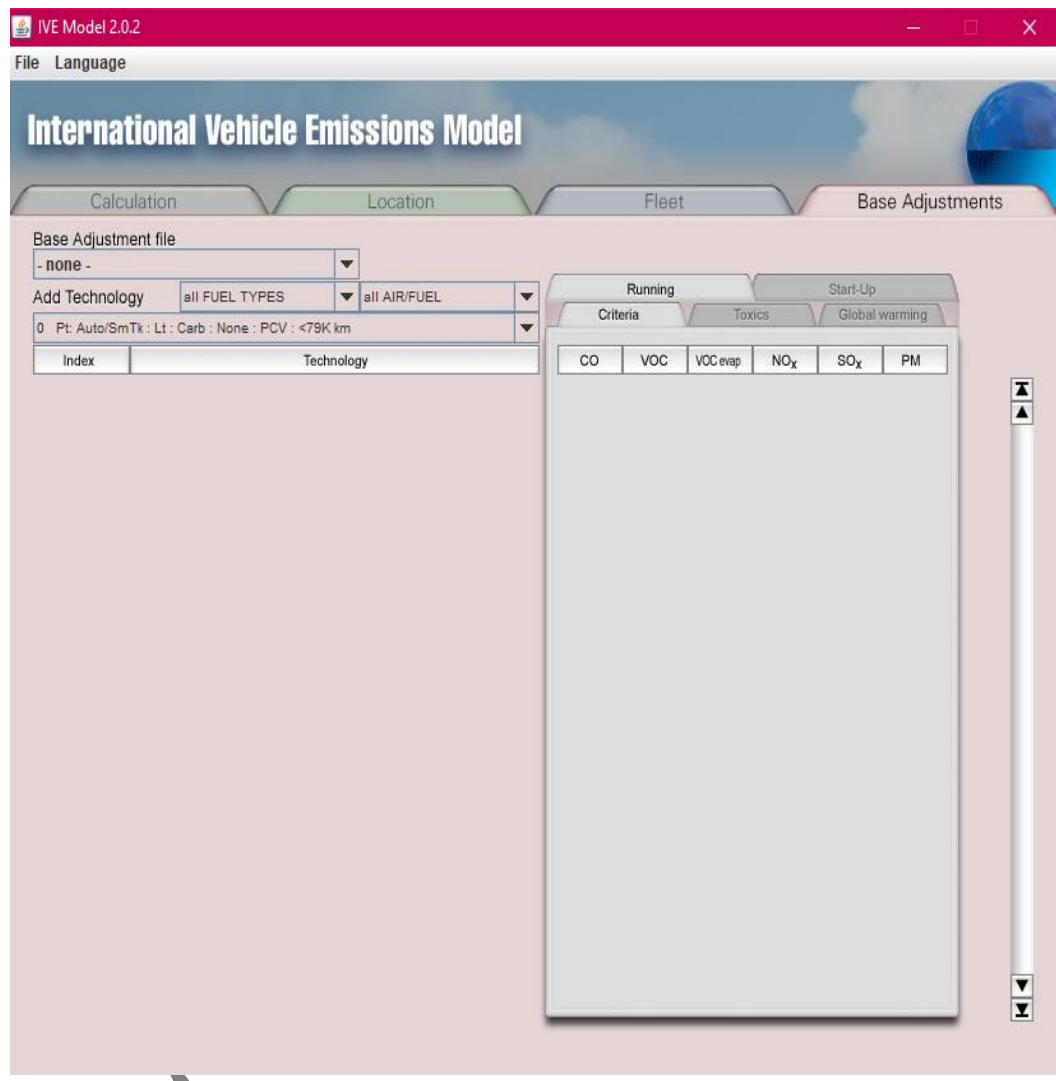
منطقه مورد بررسی، اطلاعات مربوط به الگوی رانندگی مانند درصد زمانی حضور در هر بین، مسافت کل طی شده و سرعت متوسط، اطلاعات مربوط به درصد استارت خودرو در هر بین (تعداد استارت های زده و مقدار زمان گذشته از آن به منظور محاسبه انتشار آلایندگی ناشی از استارت سرد) را در نظر میگیرد در شکل ۴ صفحه مربوط به داده های مکان در نرم افزار IVE آورده شده است.



شکل ۴. صفحه داده های مکان در نرم افزار IVE

Figure 4. Location data page in IVE software

بخش تنظیمات پایه (Base adjustments) در مدل IVE<sup>۴۵</sup> فناوری تعریف نشده در مدل ارائه داده است که برای اصلاح عوامل انتشار پایه و بهبود محاسبات می‌توان از اندازه گیری‌های انتشار محلی استفاده کرد در شکل ۴ صفحه تنظیمات پایه در مدل IVE آورده شده است.



شکل ۵. صفحه تنظیمات پایه در مدل IVE

**Figure 4. Basic settings page in IVE mode**

در این مدل از معادله (۱) و (۲) برای خودروهای سبک و متوسط استفاده می‌شود:

$$\begin{aligned}
 \text{VSP} & (kW / \text{metric-ton}) \\
 & = v \times (a \times (1 + \varepsilon_i) + g \times \text{grade} + g \times C_R) + \frac{1}{2} p_a \frac{C_D \times A}{m} (v + v_w)^2 v + C_{if} \times g \times C_R \quad (1) \\
 & = v \times [1.1a + 9.81 \times (\tan(\sin(\text{grade}))) + 0.132] + 0.000302 \times v^3
 \end{aligned}$$

where :

$$v = \text{speed} \left( \frac{m}{s} \right)$$

$$a = \text{acceleration} \left( \frac{m}{s^2} \right)$$

$$m = \text{vehicle weight} \left( kg \right)$$

$\varepsilon_i$  = mass factor, equivalent to the mass of the rotating parts (wheels, gears, shafts, etc.) at power train (without unit).

the suffix  $i$  indicates that  $\varepsilon_i$  depends on gear, tilt, elevation, and landing length.

$$g = \text{gravity acceleration} 9.8 \left( \frac{m}{s^2} \right)$$

$$C_R = \text{Resistance coefficient} \left( m^2 \right)$$

$$p_a = \text{The density of the outside air is } 1.207 \frac{kg}{m^2} \text{ at } 20^\circ C$$

$$v_w = \text{Opposite wind direction} \left( \frac{m}{s} \right)$$

to determine the engine stress, Equation (2) is also employed :

$$\text{Engin stress} = \text{RPM Index} + (0.08 \frac{\text{ton}}{kW}) \times \text{Preaverage power} \quad (2)$$

$$\text{preaverage power} = \text{Average(VAP}_{t=5 \text{ sec to } 25}\text{)} \left( \frac{kW}{ton} \right)$$

$$\text{RPM Index} = \text{Veloocity}_{t=0} / \text{SpeedDivider} \text{ (without unit)}$$

$$\text{Minimum RPM Index} = 0.9$$

پس از تکمیل اطلاعات مربوط به مکان ، غلظت CO, NOx, VOCevap, VOC و PM و همچنین آلاینده های سمی و عوامل گازی موثر در گرمایش جهانی را می توان به صورت روزانه یا ساعتی و در هر دو حالت راه اندازی و رانندگی تخمین زده شد.

## نتایج و بحث

### نتایج آزمایش شاسی دیناموت

در این بخش نتایج آزمایش شاسی دینامومتر برای برخی خودروهای سواری داخلی از سال های ۲۰۱۵ تا ۲۰۲۰ بر اساس اندازه گیری های موجود شرکت ISQI تهیه شده است که در جدول ۳ آورده شده است. تعداد خودروهای مورد بررسی در آزمایش شاسی - دینامومتر وابسته به تیراژ تولید و نتایج نمونه ها در نظر گرفته می شود که برای خودروهای پژو ۲۰۶، سمند، تیبا، تیبا ۲، پژو ۵۰۵، سایپا، کوبیک، شاهین با ترتیب ۹، ۴۰، ۴۸، ۱۰، ۲۸، ۱۸، ۵، ۹ تعداد بوده است.

### جدول ۳. نتایج آزمایش شاسی دینامومتر

Table 3. Dynamometer chassis test results

وسیله نقلیه Vehicle	سال Year	NMHC(gr/km)	NOX( gr/km)	HC(gr/km)	CO(gr/km)
پژو ۲۰۶	2015	—	0.030	0.074	0.401
	2016	—	0.055	0.064	0.432
	2017	—	0.035	0.060	0.370
	2018	—	0.089	0.073	0.490
	2019	—	0.007	0.057	0.429
	2020	0.061	0.022	0.067	0.290
	2021	0.033	0.032	0.041	0.293
سمند Samand	2015	—	0.036	0.042	0.338
	2016	—	0.027	0.041	0.357
	2017	—	0.048	0.047	0.335
	2018	—	0.049	0.045	0.397
	2019	—	0.028	0.038	0.487
	2020	0.040	0.026	0.050	0.649
	2021	0.026	0.248	0.031	0.464
تیبا Tiba	2015	—	0.024	0.083	0.591
	2016	—	0.027	0.064	0.436
	2017	—	0.020	0.062	0.526
	2018	—	0.012	0.061	0.434
	2019	—	0.019	0.087	0.638
	2020	0.057	0.023	0.067	0.940
	2021	0.051	0.010	0.060	0.862
تیبا ۲ Tiba 2	2015	—	0.022	0.093	0.583
	2016	—	0.026	0.067	0.476
	2017	—	0.020	0.068	0.453

تیبا Tiba2	2018	—	<b>0.012</b>	<b>0.068</b>	<b>0.478</b>
	2019	—	<b>0.010</b>	<b>0.070</b>	<b>0.556</b>
	2020	<b>0.065</b>	<b>0.010</b>	<b>0.080</b>	<b>0.909</b>
	2021	<b>0.048</b>	<b>0.010</b>	<b>0.057</b>	<b>0.868</b>
	2015		<b>0.089</b>	<b>0.087</b>	<b>0.618</b>
	2016	—	<b>0.030</b>	<b>0.046</b>	<b>0.432</b>
	2017	—	<b>0.035</b>	<b>0.069</b>	<b>0.409</b>
پژو ۴۰۵ Peugeot 405	2018	—	—	—	—
	2019		<b>0.035</b>	<b>0.043</b>	<b>0.510</b>
	2020	<b>0.038</b>	<b>0.038</b>	<b>0.042</b>	<b>0.513</b>
	2021	—	—	—	—
	2015	—	<b>0.056</b>	<b>0.062</b>	<b>0.360</b>
	2016	—	<b>0.028</b>	<b>0.056</b>	<b>0.460</b>
	2017	—	<b>0.070</b>	<b>0.058</b>	<b>0.358</b>
سایپا Saipa	2018	—	<b>0.019</b>	<b>0.076</b>	<b>0.582</b>
	2019	—	<b>0.015</b>	<b>0.089</b>	<b>0.608</b>
	2020	—	<b>0.017</b>	<b>0.086</b>	<b>0.601</b>
	2021	—	—	—	—
کوئیک Quik	2019	—	<b>0.016</b>	<b>0.097</b>	<b>0.696</b>
	2020	<b>0.060</b>	<b>0.023</b>	<b>0.070</b>	<b>0.989</b>
	2021	<b>0.045</b>	<b>0.023</b>	<b>0.054</b>	<b>0.960</b>
شاهین Shahin	2021	<b>0.069</b>	<b>0.052</b>	<b>0.077</b>	<b>0.587</b>

این نتایج مربوط به زمان اعمال استاندارد یورو چهار در ایران است که طبق آن مقدار انتشار گاز های CO, THC, NOx به ترتیب ۰/۱، ۰/۰۸ و ۰/۰۱ گرم بر کیلومتر تعیین شده است و نتایج آزمایش شاسی دیناموتور خودروهای داخلی نشان دهنده آن است که خودرو استاندارد آلایندگی را پاس کرده است.

### نتایج مدل ها

طبق مدل IVE، ۶۰ بین<sup>†</sup> VSP/ES در سه دسته تنیش موتور (کم، متوسط ، بالا) و در ۲۰ دسته VSP (با بازه عددی متفاوت) با بازه های مختلف VSP و ES برای دریافت اطلاعات ورودی چرخه رانندگی در نظر گرفته می شود که مزایای این دسته بندی این

<sup>†</sup> - bin

است که هر چرخه رانندگی دلخواهی را می‌توان مورد مطالعه قرار داد. با استفاده از فرمول‌های فوق، VSP، تقسیم‌کننده سرعت، شاخص دور بر دقیقه، توان پیش از میانگین و تنش موتور به دست آمد و درصد سطلهای فعال تعیین شد. در تحقیق حاضر درصد خودروهایی که از تهويه مطبوع استفاده کرده اند ۵۰ درصد در نظر گرفته شده است. بطور کلی، مبنای انتشار خودرو، با توجه به تفاوت خودروهای موجود، بر اساس اطلاعات موجود در پایگاه داده IVE، بر اساس نوع و ظرفیت فن‌آوری موتور و وسیله نقلیه تعیین می‌شود و سطوح انتشار وسایل نقلیه در مدل IVE قابل اندازه‌گیری است. گزینه‌های تکنولوژی مورد استفاده در خودروها به شرح زیر انتخاب شدند:

تکنولوژی Technology	Petrol, MPFI
شاخص index	Pt: Auto / Sm T k: Med: MPFI: Euro II: PCV / Tank: 79km Euro III: PCV / Tank: 79km Euro IV: PCV / Tank: 79km

در این مدل، جزئیات مکان شامل شرایط محیطی مانند دما، رطوبت و ارتفاع و درجه شیب صفر و ویژگی‌های سوخت که میزان آلاینده‌ها و مواد افزودنی را نشان می‌دهد که به طور خلاصه در جدول ۴ آورده شده است مهم است:

#### جدول ۴. ویژگی‌های سوخت در نرم افزار IVE

Table 4. Fuel characteristics in IVE software

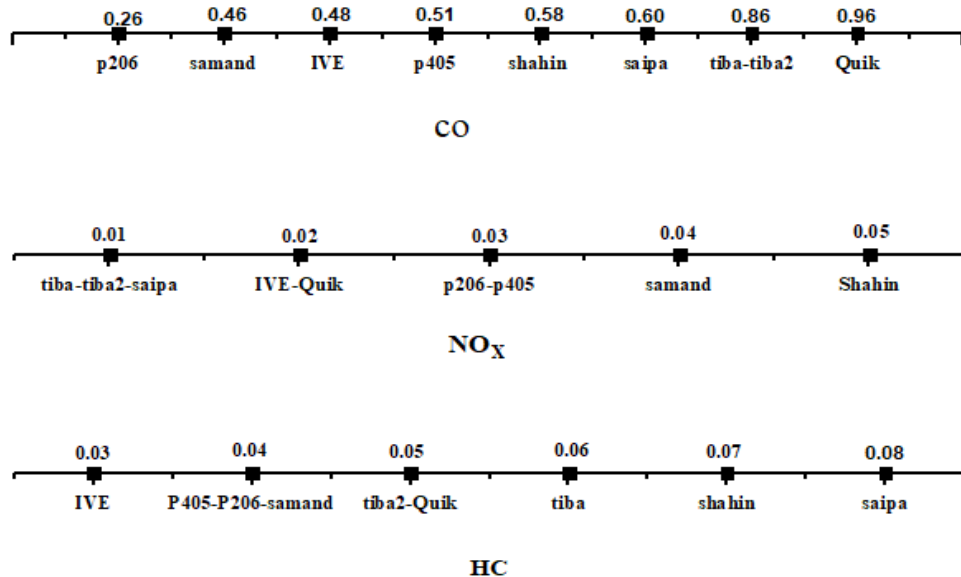
کلیت Overall	سلفور(S) Sulfur(S)	سرپ Lead	بنزن Benzene	اکسیژن Oxygenate
متوفی moderate	(۵۰۰ ppm) (500ppm) Moderate	۰	(1.50%) (1.50%) Moderate	2%

نتایج محاسبه انتشار خودروهای سواری متوسط با کارکرد زیر ۷۹ هزار کیلومتر، بر اساس استاندارد آلاینده‌یورو ۴ در مدل‌های IVE در جدول ۵ آورده شده است.

#### جدول ۵. نتایج محاسبه انتشار خودروهای سواری در مدل IVE

Table 5. Calculation results of passenger car emissions in the IVE model

استاندارد یورو Euro Standard	نوع انتشار Emission	IVE
Euro 4	CO	0.48
	NOX	0.02
	HC	0.03



شکل ۶. مقایسه مدل و آزمایش شاسی دینامومتر

Figure 6. Comparison of model and dynamometer chassis test

### نتیجه گیری

همانطور که پیش از این مطرح شد ، در این پژوهش نتایج انتشار آزمایش شاسی دینامومتر خودروهای داخلی با نتایج انتشار مدلسازی شده توسط مدل IVE بر اساس داده های چرخه رانندگی NEDC برای سه گاز مهم NO<sub>x</sub>, CO, HC مورد مقایسه قرار گرفته است و برای انواع مختلف خودرو ضرایب تصحیح استخراج شده و در ادامه نشان داده شده است .

### آلینده CO

\* ۱/۶ انتشار خودروی پژو ۲۰۶ = انتشار مدل

\* ۱/۰۴ انتشار خودروهای سمند = انتشار مدل

\* ۰/۹ انتشار خودروهای پژو ۴۰۵ = انتشار مدل

\* ۰/۸ انتشار خودروهای سایپا و شاهین = انتشار مدل

\* ۰/۵ انتشار خودروهای تیبا ، تیبا ۲ و کوییک ) = انتشار مدل

### آلینده NO<sub>x</sub>

(انتشار خودروی کوئیک) = انتشار مدل

(۶) \* انتشار خودروهای پژو ۲۰۵ و ۴۰۵ = انتشار مدل

(۲) \* انتشار خودروهای تیبا ، تیبا ۲ ، سایپا) = انتشار مدل

(۵) \* انتشار خودروی سمند ) = انتشار مدل

(۴) \* انتشار خودروی شاهین) = انتشار مدل

(۷) \* انتشار خودروهای سمند، پژو ۴۰۵ و ۲۰۶ = انتشار مدل

(۶) \* انتشار خودروایی تیبا ۲، کوئیک) = انتشار مدل

(۵) \* انتشار خودروی تیبا) = انتشار مدل

(۴) \* انتشار خودروی شاهین) = انتشار مدل

(۳) \* انتشار خودروی سایپا) = انتشار مدل

با توجه به اینکه سهم حمل و نقل در تولید و نشر آلینده‌های هوا، از دیگر منابع انتشار در شهرها بیشتر است، لذا شناسایی دقیق این منابع برای مدیران شهری حائز اهمیت است و دستیابی به آمار دقیق و جامع از انتشار منابع متحرک ، در جهت کاهش آلینده‌ها و اتخاذ استراتژی های کاهنده‌ی آلوگی هوا از اهمیت بسزایی برای مدیران پرخوردار است. ما در این بررسی میزان انتشار خودرو های صفر کیلومتر را مبنا قرار دادیم و به مقایسه نتایج حاصل از تست شاسی دینامومتر خودروهای صفر کیلومتر داخلی و انتشار مدل در شرایط یکسان پرداختیم . مطالعات بسیاری در زمینه مدلسازی انتشار خودروها توسط مدل IVE در شهرهای مختلف ایران انجام گرفته است و سازمان محیط زیست نیز برای تهییه سیاهه انتشار از مدل IVE استفاده می کند. مدل IVE ، نسبت به مدل های مشابه مشخصات انواع بیشتری از خودروهای سواری را داراست هم چنین محاسبه ضرایب انتشار در این مدل بر اساس سرعت لحظه ای است نه سرعت متوسط که این خود از مزیت های بزرگ این مدل به شمار می آید. استفاده از این مدل نیازمند چهار گروه اطلاعات است. نرخ انتشار خودروها در شرایط پایه، عملکرد خودروها ( سرعت و شتاب و مسافت طی شده)، ترکیب ناوگان خودروها و شرایط محیطی (دما، رطوبت، نوع سوخت مصرفی). نتایج این تحقیق همانطور که نشان داده شد گویاست که اگرچه مدل IVE تا حدودی به نتایج واقعی نزدیک است ولی نمی توان نتایج این مدل را به طور مستقیم بعنوان برآورد صحیحی از انتشارات مطرح کنیم اما قطعا با اعمال ضرایب تصحیح مناسب برای هر خودرو این مدل قبل کاربرد است که امید است در تحقیقات آتی به این موضوع توجه شده و ضرایب مناسب جهت برآورد انتشار واقعی خودروها در نظر گرفته شود.

## منابع

### References

- Ali, M., Kamal, M. D., Tahir, A., & Atif, S. (2021). Fuel consumption monitoring through COPERT model—A case study for urban sustainability. *Sustainability*, 13(21), 11614.
- Alipourmohajer, S., Rashidi, Y., & Atabi, F. (2019). Verification of IVE model for SAIPA Co. fleet emission. *Pollution*, 5(2), 235-245.
- Bernard, Y., Tietge, U., German, J., & Muncrief, R. (2018). Determination of real-world emissions from passenger vehicles using remote sensing data. *The Real Urban Emissions Initiative: London, UK*.
- Bishop, G. A., Stedman, D. H., Burgard, D. A., & Atkinson, O. (2016). High-mileage light-duty fleet vehicle emissions: Their potentially overlooked importance. *Environmental science & technology*, 50(10), 5405-5411.
- Cuba, C., Cuba, R., Arroyo, V., & Morales, J. (2021, December). Characterization of Air Pollution in Pre-COVID 19 Time Using the IVE Model Applied to Mobile Sources in Urban Areas. In *IOP Conference Series: Earth and Environmental Science* (Vol. 943, No. 1, p. 012003). IOP Publishing.
- Dong, Y., & Xu, J. (2020). Estimation of vehicle carbon emissions in China accounting for vertical curve effects. *Mathematical Problems in Engineering*, 2020, 1-20.
- Ghaffarpasand, O., Talaie, M. R., Ahmadikia, H., Khozani, A. T., & Shalamzari, M. D. (2020). A high-resolution spatial and temporal on-road vehicle emission inventory in an Iranian metropolitan area, Isfahan, based on detailed hourly traffic data. *Atmospheric Pollution Research*, 11(9), 1598-1609.
- Ghaffarpasand, O., Talaie, M. R., Ahmadikia, H., TalaieKhozani, A., Shalamzari, M. D., & Majidi, S. (2021). How does unsustainable urbanization affect driving behavior and vehicular emissions? Evidence from Iran. *Sustainable Cities and Society*, 72, 103065.
- Hirahara, Y., Rosnay, P. D., & Arduini, G. (2020). Evaluation of a microwave emissivity module for the snow-covered area with CMEM in the ECMWF integrated forecasting system. *Remote Sensing*, 12(18), 2946.

Jamshidi Kalajahi, M., Khazini, L., Rashidi, Y., & Zeinali Heris, S. (2020). Development of reduction scenarios based on urban emission estimation and dispersion of exhaust pollutants from light duty public transport: case of Tabriz, Iran. *Emission Control Science and Technology*, 6, 86-104.

Kii, M. (2020). Reductions in CO<sub>2</sub> emissions from passenger cars under demography and technology scenarios in Japan by 2050. *Sustainability*, 12(17), 6919.

Le Hong, Z., & Zimmerman, N. (2021). Air quality and greenhouse gas implications of autonomous vehicles in Vancouver, Canada. *Transportation Research Part D: Transport and Environment*, 90, 102676.

Leung, K. W. (2019). Development and assessment of high-resolution vehicle emission inventory in Hong Kong (Doctoral dissertation).

Li, X., Hu, Z., Cao, J., & Xu, X. (2022). The impact of environmental accountability on air pollution: A public attention perspective. *Energy Policy*, 161, 112733.

Mądziel, M., Campisi, T., Jaworski, A., & Tesoriere, G. (2021). The development of strategies to reduce exhaust emissions from passenger cars in Rzeszow Poland. a preliminary assessment of the results produced by the increase of e-fleet. *Energies*, 14(4), 1046.

Sanches, M. F., Oliveira, M. V. R., Ciceri, O. J., Ladeira, L. Z., Garcia, I. C., Da Fonseca, N. L., & Villas, L. A. (2021, July). EFIS-Ecological Fuel-consumption Intelligent System. In 2021 17th International Conference on Distributed Computing in Sensor Systems (DCOSS) (pp. 117-123). IEEE.

Shahbazi, H., Reyhanian, M., Hosseini, V., & Afshin, H. (2016). The relative contributions of mobile sources to air pollutant emissions in Tehran, Iran: An emission inventory approach. *Emission control science and technology*, 2, 44-56.

Singh, H., & Kathuria, A. (2021). Analyzing driver behavior under naturalistic driving conditions: A review. *Accident Analysis & Prevention*, 150, 105908.

Suarez-Bertoa, R., Valverde, V., Clairotte, M., Pavlovic, J., Giechaskiel, B., Franco, V., ... & Astorga, C. (2019). On-road emissions of passenger cars beyond the boundary conditions of the real-driving emissions test. *Environmental research*, 176, 108572.

Wondifraw, B. A., Lemma, D. G., & Aschalwe, E. T. (2018). Estimation of Exhaust Emission from Road Transport using COPERT Software.

Yu, Z., Li, W., Liu, Y., Zeng, X., Zhao, Y., Chen, K., ... & He, J. (2021). Quantification and management of urban traffic emissions based on individual vehicle data. *Journal of Cleaner Production*, 328, 129386.

Zhong, M., Saikawa, E., Avramov, A., Chen, C., Sun, B., Ye, W., & Panday, A. K. (2019). Nepal Ambient Monitoring and Source Testing Experiment (NAMaSTE): emissions of particulate matter and sulfur dioxide from vehicles and brick kilns and their impacts on air quality in the Kathmandu Valley, Nepal. *Atmospheric Chemistry and Physics*, 19(12), 8209-8228.

Zhou, Z., Tan, Q., Liu, H., Deng, Y., Wu, K., Lu, C., & Zhou, X. (2019). Emission characteristics and high-resolution spatial and temporal distribution of pollutants from motor vehicles in Chengdu, China. *Atmospheric Pollution Research*, 10(3), 749-758.

# Comparison of the real emissions of domestic passenger cars with the IVE model

Maryam saberiyanansani, Yousef Rashidi<sup>‡</sup> and Seyed Hossein Hashemi

Department of Environmental Technologies, Research Institute of Environmental Sciences, Shahid Beheshti University, Tehran, Iran

**Introduction:** Estimating the production of air pollution from mobile and stationary sources is one of the main pillars of air quality management, and considering the performance of cars in different conditions, calculating the amount of emissions of pollutants from mobile sources is one of the challenges of compiling the emission list. The international vehicle emission modeling software (IVE) is used in the studies of compiling the country's air pollution emission list.

**Material and methods:** In this research, in order to investigate the deviation of the model values from the reality, a comparison between the IVE model and the emission measurement of domestic passenger cars at 0 km in the ISQI laboratory dynamometer chassis test based on the Euro 4 emission standard and the New European Driving Cycle (NEDC) has been carried out.

**Results and discussion:** Comparison of domestic car dynamometer chassis test emission data for three important gases, NOx, CO, HC, with emission results modeled by IVE model showed different values, except for one case in NOx emission, where the model was equal to the Quick car, so that NOX emission It was in the range of 0.01 to 0.05, and the model showed the number of 0.03, and in the case of CO, it was in the range of 0.26 to 0.96, which the model showed the number of 0.48, and also HC is in the range of 0.03 to 0.08, which the model results are equal to 0.03

**Conclusion:** Based on the comparison of the results, although the IVE model is somewhat close to reality, relying on the hypothetical conditions to estimate the amount of passenger car pollutants is unreliable, and the results of the model cannot be considered a correct estimate of the emissions, but by applying appropriate correction coefficients for each The car is usable.

**Keywords:** Air pollution, IVE model, motor vehicles, NEDC cycle, dynamometer chassis.

---

<sup>‡</sup> Corresponding Author: Email Address. y\_rashidi@yahoo.com